

PRÁCTICA 1.- CIRCUITO DIFERENCIADOR E INTEGRADOR. COMPONENTES PASIVOS. RESPUESTA EN FRECUENCIA.

1.-OBJETIVOS

- Introducción al instrumental de laboratorio.
- Estudio de filtros pasivos: montaje diferenciador e integrador.
- Obtención experimental de la respuesta en frecuencia de filtros pasivos simples.

2.- INTRODUCCIÓN

Los componentes pasivos son las resistencias, condensadores y autoinducciones. Al hablar de circuitos diferenciadores e integradores con componentes pasivos nos referimos a que estos circuitos los vamos a montar exclusivamente con componentes pasivos.

Más adelante veremos que estos circuitos también se pueden montar con componentes activos como son el amplificador operacional junto con resistencias y condensadores (motivo de otra práctica posterior). Empezaremos con los circuitos RC, concretamente el montaje integrador y diferenciador, estudiando su respuesta frente a la frecuencia de la señal de entrada poniendo así de manifiesto su comportamiento como filtros.

3.-CIRCUITO DIFERENCIADOR

Este circuito constituye lo que se llama un filtro paso alto, es decir, que atenúa las señales de bajas frecuencias y deja pasar las señales de frecuencia mayores a una dada, llamada frecuencia de corte. Su esquema se muestra en la figura siguiente;

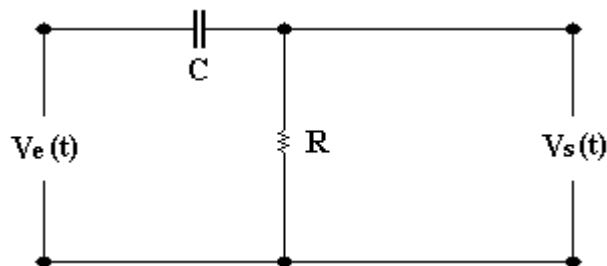


Figura 1.- Montaje diferenciador

La frecuencia de corte se define como aquella a la cual la señal de salida es 0.707 veces la señal de entrada, o bien en decibelios, la frecuencia para la que hay una ganancia de -3dB.

$$G = \frac{V_s}{V_e} \quad \rightarrow \quad \text{para } f=f_o$$

$$G = \frac{1}{\sqrt{2}} = 0.707; \quad G_{dB} = 20 \log_{10} |G| = 20 \log_{10} \frac{1}{\sqrt{2}} = -3dB;$$

$$\text{donde } f_o = \frac{1}{2\pi RC};$$

Esto es debido a que la reactancia que presenta el condensador $\left(Z_c = \frac{1}{jC\omega} \right)$ disminuye al aumentar la frecuencia, dándose el caso de que cuando C es muy alta se comporta como si fuera un cortocircuito por lo que la señal de entrada aparece en la salida.

Para frecuencias muy pequeñas, próximas a cero, C presenta una impedancia muy grande, próxima a infinito, es decir, que a estas frecuencias se comporta como si se tratase de un circuito abierto. Por tanto la tensión de salida es prácticamente nula .

A continuación vamos a justificar las expresiones anteriores realizando un estudio del comportamiento de este circuito en el dominio de la frecuencia, para una señal de entrada $V_e(t)$ senoidal.

$$V_e(t) = V \sin(\omega t); \quad (\text{siendo } \omega = 2\pi f)$$

$$\text{La ecuación de la malla del circuito será: } V_e(t) = i(t) \left(R + \frac{1}{jC\omega} \right);$$

donde j es la unidad imaginaria, R la impedancia compleja de la resistencia y $\frac{1}{jC\omega}$ la del condensador.

$$\text{La tensión de salida será: } V_s(t) = i(t) \cdot R;$$

Dividiendo la tensión de salida entre la entrada tendremos:

$$\frac{V_s(t)}{V_e(t)} = \frac{i(t)R}{i(t) \left(R + \frac{1}{jC\omega} \right)} = \frac{R}{R + \frac{1}{jC\omega}};$$

Al cociente entre $V_s(t)$ y $V_e(t)$ se le denomina Ganancia (G).

$$G = \frac{V_s(t)}{V_e(t)} = \frac{R}{R + \frac{1}{jC\omega}};$$

como $\omega = 2\pi f$ siendo f la frecuencia y teniendo en cuenta que $f_o = \frac{1}{2\pi RC}$ podemos reescribir la ecuación anterior de la siguiente forma:

$$G = \frac{1}{1 - j \frac{1}{2\pi RCf}} = \frac{1}{1 - j \frac{f_o}{f}};$$

Esta expresión compleja de la ganancia se puede descomponer en módulo y argumento:

$$|G| = \frac{1}{\sqrt{1 + \left(\frac{f_o}{f}\right)^2}}; \quad \theta = \arctg\left(\frac{f_o}{f}\right);$$

Particularizando para $f = f_o$ obtenemos la ganancia y fase a la frecuencia de corte:

$$G = \frac{1}{\sqrt{2}} = 0.707; \quad G_{dB} = 20 \log_{10}|G| = 20 \log_{10} \frac{1}{\sqrt{2}} = -3dB;$$

$$\theta_{f=f_o} = \arctg(1) = 45^\circ;$$

La respuesta en frecuencia de un sistema se representa a través del diagrama de Bode, que no es otra cosa sino la representación de las **curvas de módulo y fase** del circuito.

En la curva de **módulo** representamos la ganancia (en decibelios) frente a la frecuencia, y en la de **fase**, el desfase (en grados o radianes), también frente a la frecuencia; todo ello en escala semilogarítmica para una correcta representación de las curvas.

A continuación se muestra el circuito diferenciador que se analizará experimentalmente en la sesión de prácticas y su diagrama de Bode.

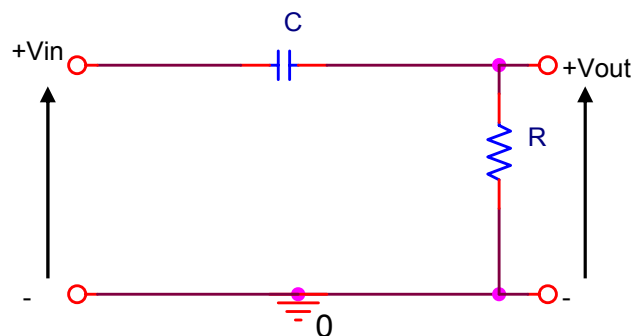


Figura 2.- Montaje diferenciador $R=56\text{ k}\Omega$; $C=0.01\mu\text{F} \rightarrow f_o=284\text{ Hz}$

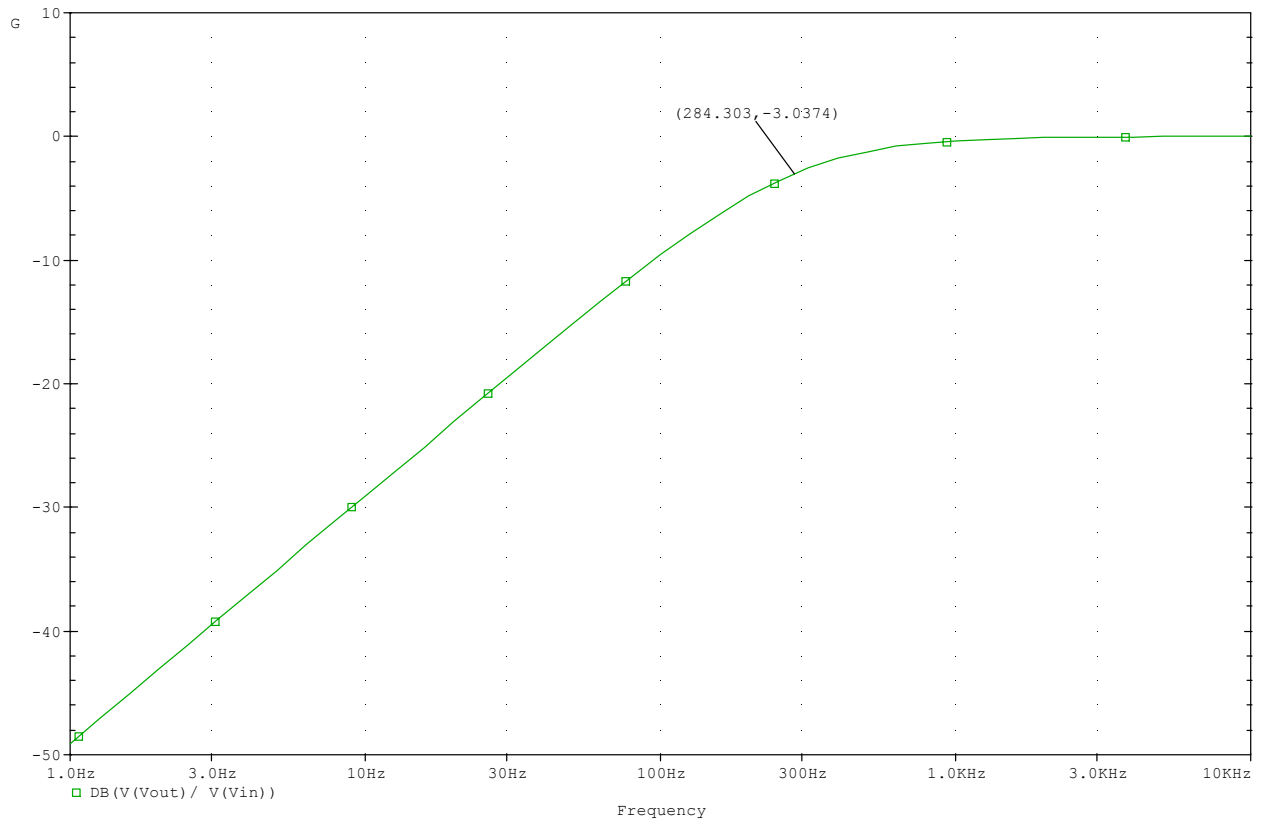


Figura 3.- Curva de ganancia (en dB)

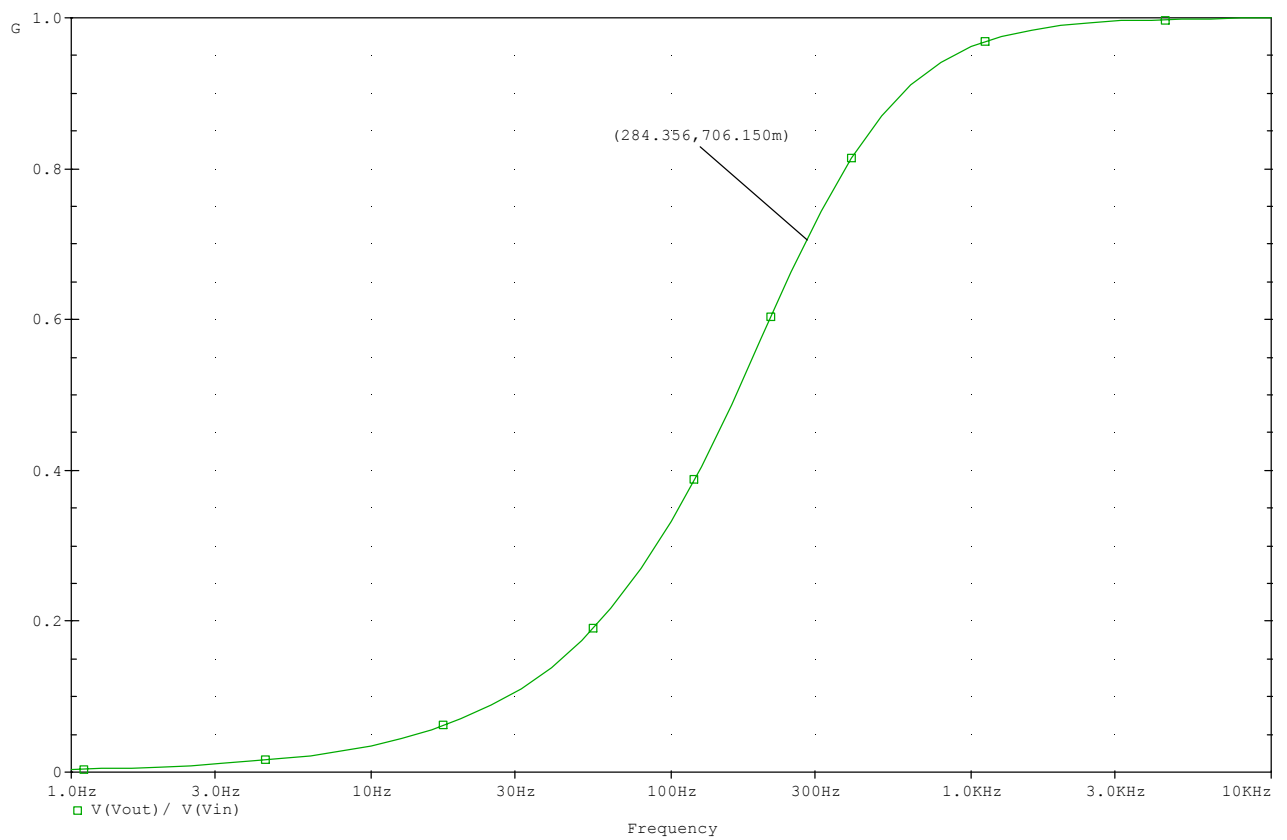


Figura 4.- Curva de ganancia.

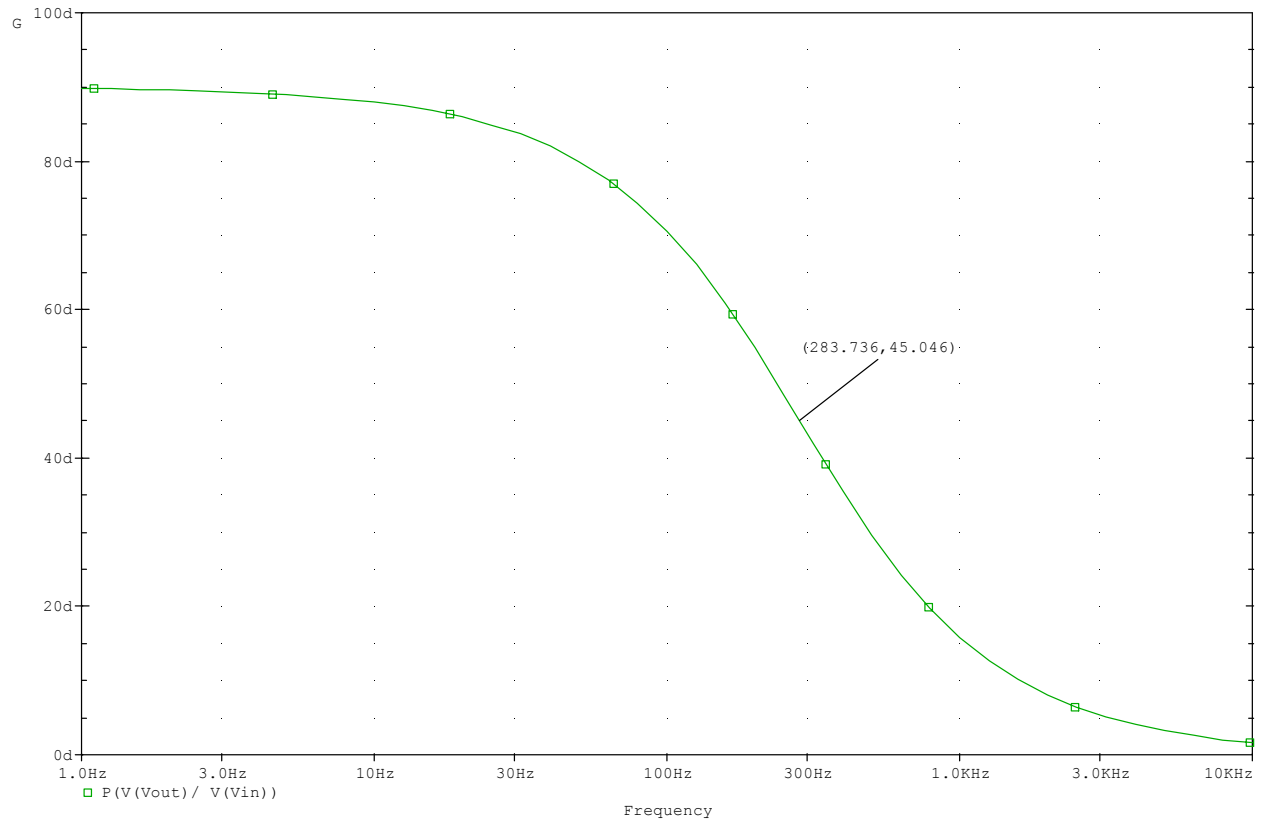


Figura 5.- Curva de fase.

En las figuras puede observarse perfectamente la atenuación que introduce el circuito a bajas frecuencias, la ganancia a la frecuencia de corte (0.707 ó -3dB) y cómo tiende a ganancia unidad para frecuencias altas.

Igualmente, sobre la curva de fase, podemos observar la evolución del desfase desde 90° hasta 0° , siendo 45° a la frecuencia de corte f_o .

En la figura siguiente podemos ver representadas las tensiones de entrada y salida del circuito (tal y como se verían en el osciloscopio), para una tensión de entrada senoidal de 10V de amplitud y frecuencia $f=f_0=285\text{Hz}$.

Midiendo sobre la gráfica obtenemos el valor de la ganancia y desfase:

$G= 0.707$; $\Psi=45,47^\circ$; valores como vemos muy próximos a los esperados teóricamente.

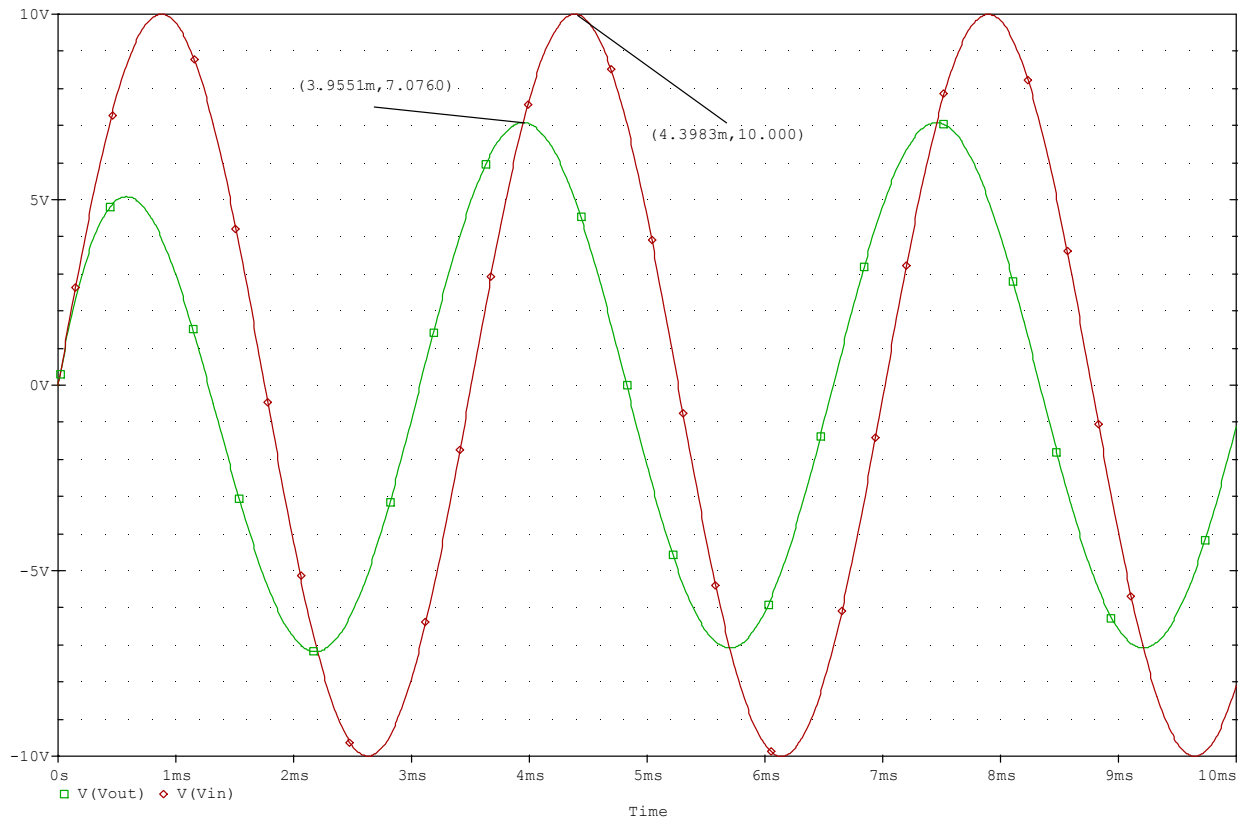


Figura 6.-Respuesta temporal del montaje integrador ($V_{in}= 10\text{V}$, $f=285\text{Hz}$)

4.-CIRCUITO INTEGRADOR

El circuito pasivo elemental del circuito integrador es el de la figura:

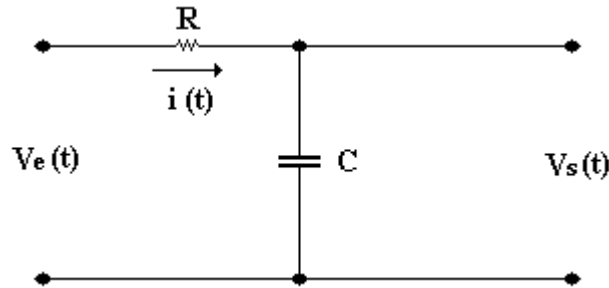


Figura 7.- Montaje integrador

A este circuito también se le llama filtro paso bajo, es decir, deja pasar las señales de frecuencias bajas (inferiores a la frecuencia de corte f_o).

Vamos a estudiar este circuito en el dominio de las frecuencias para ello suponemos una señal de entrada senoidal.

$$V_e(t) = V_s \sin(\omega t)$$

La ecuación de la malla del circuito será: $V_e(t) = i(t) \left(R + \frac{1}{jC\omega} \right)$;

donde j es la unidad imaginaria, R la impedancia compleja de la resistencia y $1/jC\omega$ la del condensador.

La tensión de salida podemos expresarla como $V_s(t) = i(t) \left(\frac{1}{jC\omega} \right)$;

dividiendo ambas ecuaciones obtendremos:

$$G = \frac{V_s(t)}{V_e(t)} = \frac{i(t) \left(\frac{1}{jC\omega} \right)}{i(t) \left(R + \frac{1}{jC\omega} \right)} = \frac{1}{1 + jRC\omega} = \frac{1}{\frac{f_o}{f} j + 1}$$

Si calculamos el modulo y el argumento de G obtendremos :

$$|G| = \frac{1}{\sqrt{1 + \left(\frac{f_o}{f} \right)^2}} ; \quad \theta = -\arctg \left(\frac{f}{f_o} \right) ;$$

Con lo cual ya tenemos caracterizado el comportamiento del circuito frente a la frecuencia. A continuación se muestra el diagrama de Bode, ejemplificado sobre el circuito que se va a montar en la práctica.

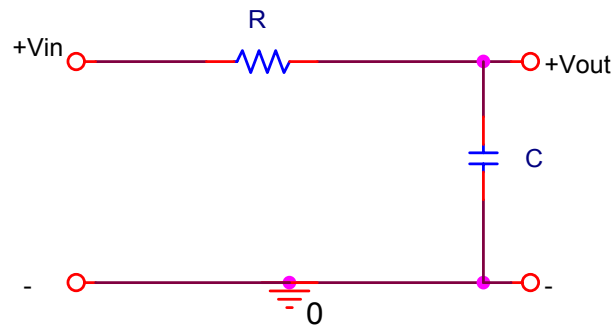


Figura 8 .- Montaje integrador $R=56\text{ k}\Omega$; $C=0.01\mu\text{F} \rightarrow f_o=284\text{ Hz}$

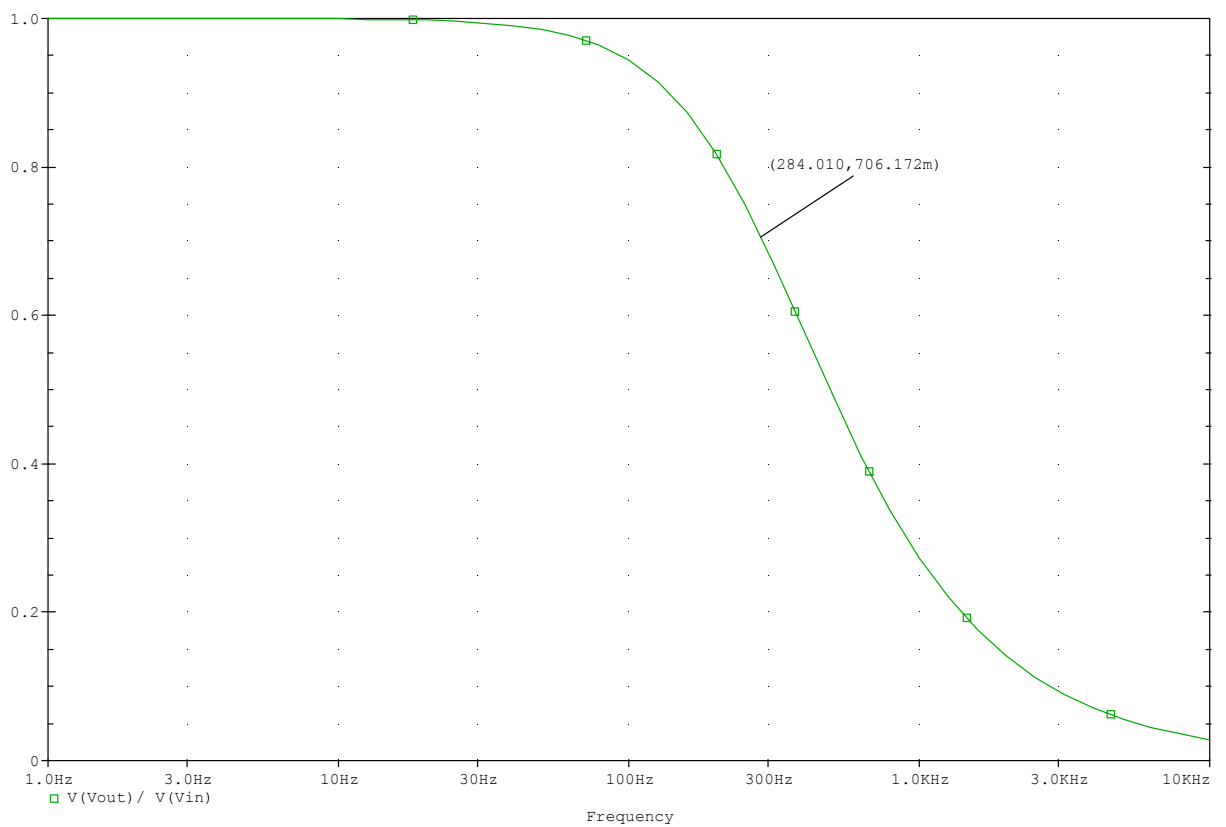


Figura 9.-Curva de ganancia.

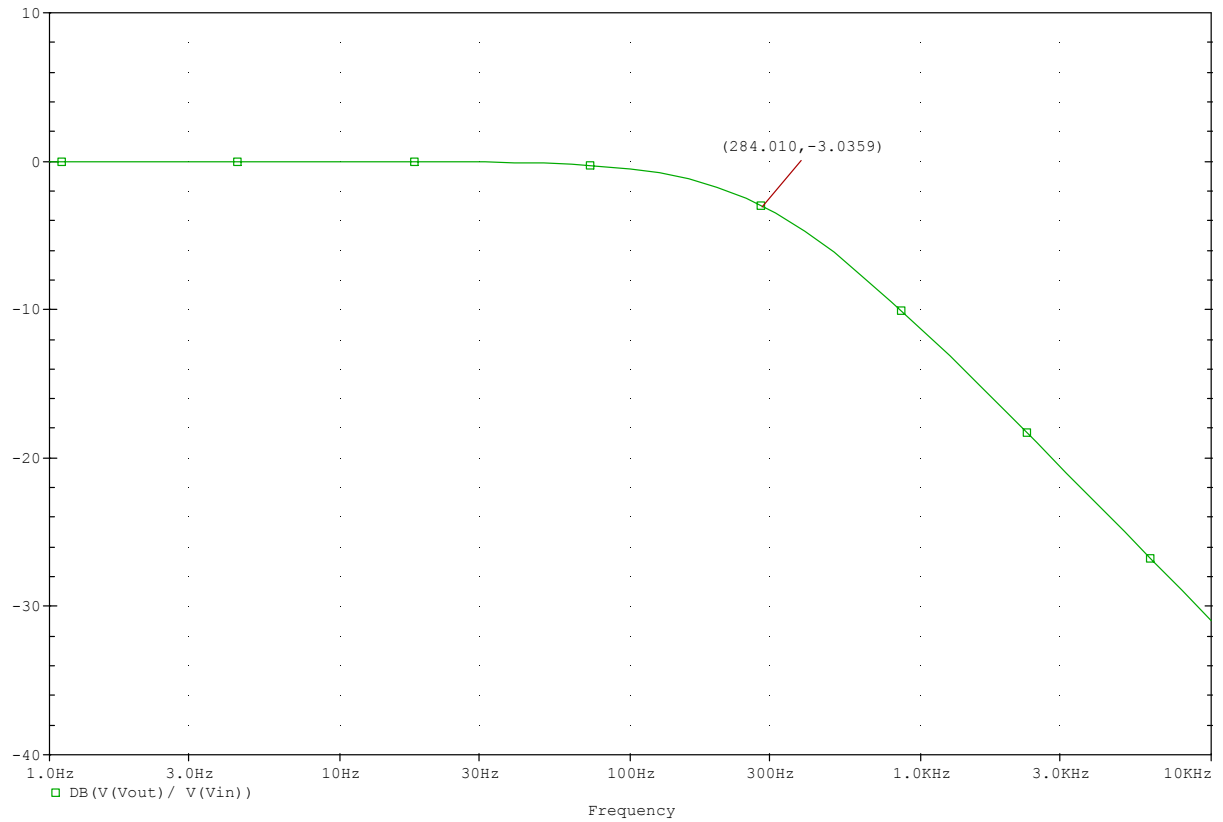


Figura 10.-Ganancia en dB

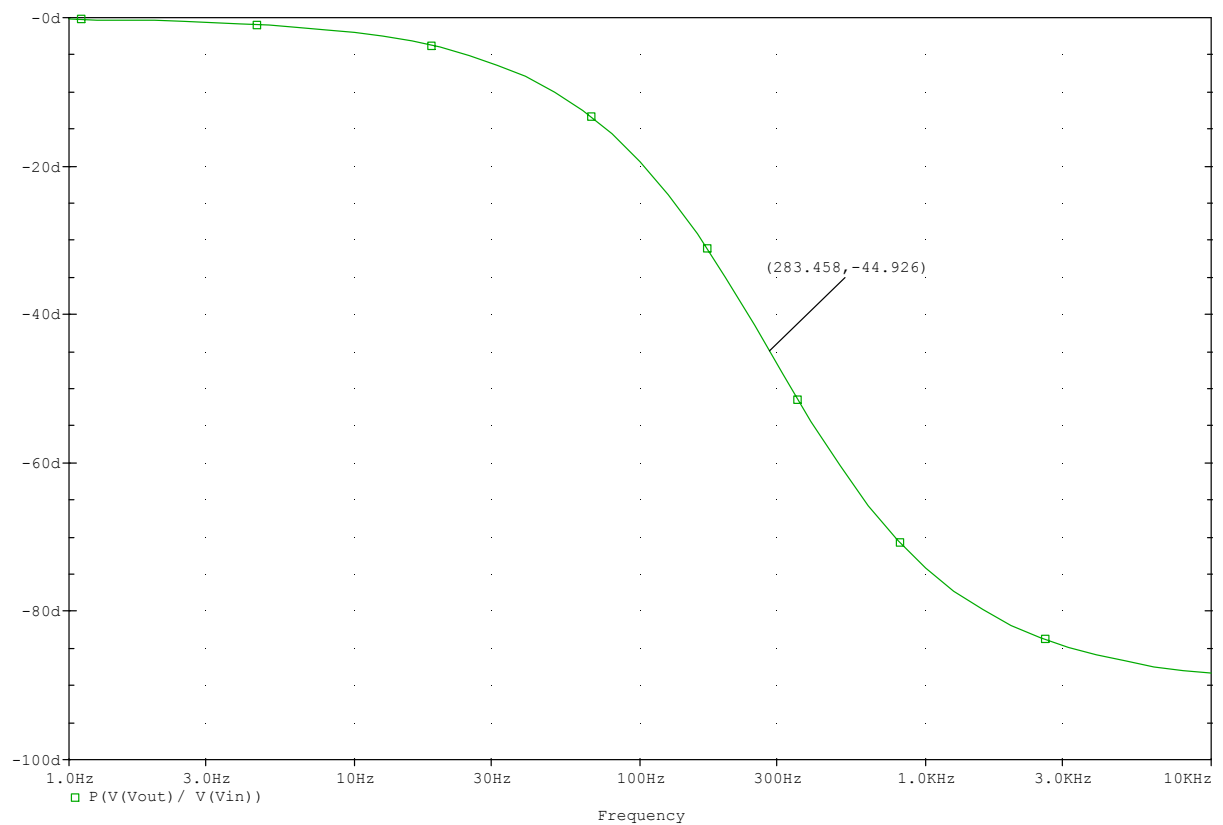
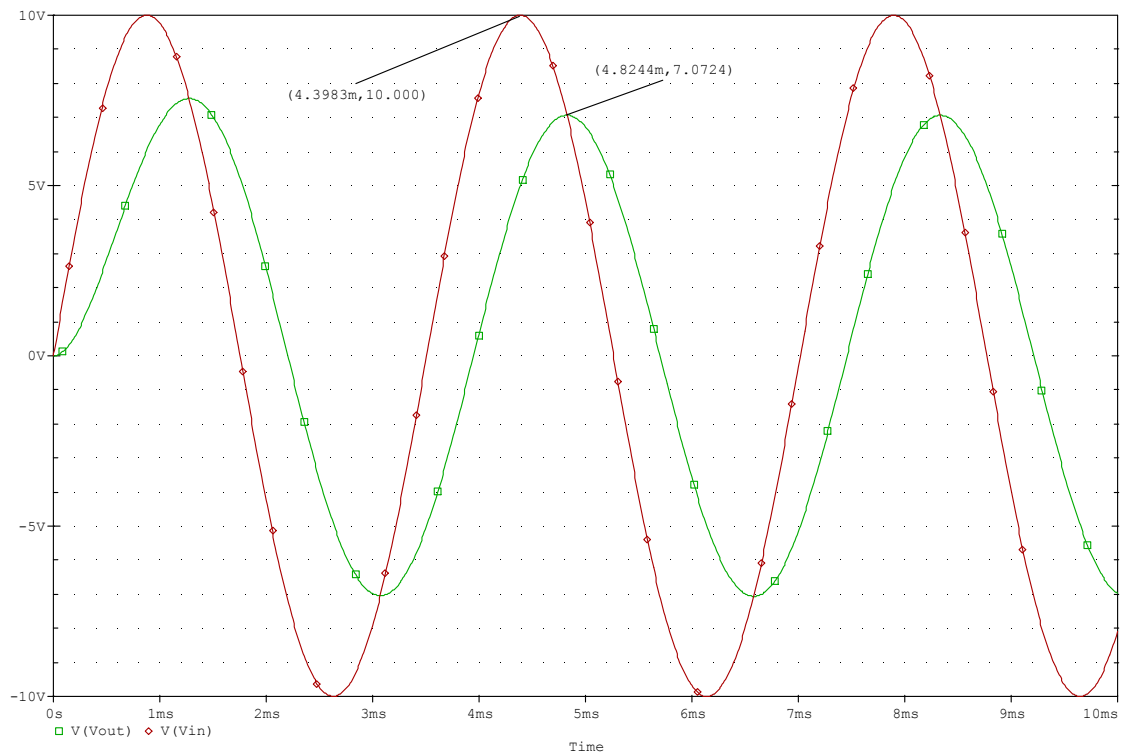


Figura 11 .-Curva de fase



**Figura 12 .-Respuesta temporal del montaje integrador (V_{in} : 10 V amplitud, $f=285\text{Hz}$)
{ $G=0.707$; $\Psi= - 43.71^\circ$ }**

5.-EJERCICIO EXPERIMENTAL

5.1.- Material

- Osciloscopio
- Generador de funciones
- Polímetro
- Resistencia ($R = 56 \text{ K}\Omega$; 1/2 W)
- Condensador ($C = 0,01 \text{ }\mu\text{F}$; 16V)

5.2- Proceso

1.- Montar el circuito R.C. diferenciador con los valores de R y C que se indican:
 $R = 56 \text{ K}\Omega$; $C = 0,01 \text{ }\mu\text{F}$. Dibuje el esquema a montar.